



FAG

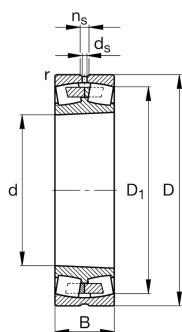
22220-E1A-XL-K-M-C4 [↗](#)

Радиальный сферический роликоподшипник

Радиальный сферический роликоподшипник 222...-E1A-XL-K-M, симметричный, 2 наружных борта

X-life

Техническая информация



Ваш текущий вариант продукта

Design	E1A	Without central rip
Исполнение отверстия	K	Коническое, 1:12
Cage	M	Латунный сепаратор
Радиальный зазор	C4 (Group 4)	Internal clearance larger than C3
Relubrication facility	Standard	Стандарт

Основные размеры и рабочие характеристики

d	100 mm	Диаметр отверстия
D	180 mm	Наружный диаметр
B	46 mm	Ширина
C _r	430.000 N	Динамическая грузоподъемность, радиальная
C _{0r}	475.000 N	Статическая грузоподъемность, радиальная
C _{ur}	53.000 N	Предел усталостной нагрузки, радиальный
n _G	4.550 1/min	Предельная частота вращения
n _{gr}	3.150 1/min	Номинальная тепловая частота вращения
m	4,843 kg	Вес





Присоединительные размеры

$d_{a \min}$	112 mm	Мин. диаметр заплечика вала
$D_{a \max}$	168 mm	Макс. диаметр заплечика корпуса
$r_{a \max}$	2,1 mm	Макс. радиус галтели
$d_{a \max}$	118 mm	Макс. диаметр заплечика вала
$d_{b \min}$	108 mm	Мин. диаметр под втулку
$B_{a \min}$	8 mm	Мин. глубина под втулку

Габаритные размеры

r_{\min}	2,1 mm	Мин. размер монтажной фаски
D_1	161,4 mm	Диаметр отверстия наружного кольца
d_2	119 mm	Диаметр дорожки качения внутреннего кольца
d_s	4,8 mm	Диаметр смазочного отверстия
n_s	9,5 mm	Ширина смазочной канавки

Диапазон температур

T_{\min}	-30 °C	Мин. рабочая температура
T_{\max}	200 °C	Макс. рабочая температура

Коэффициенты для расчета

e	0,24	Предельное значение F_a/F_r для применимости различн. значений коэффициентов X и Y
Y_1	2,84	Динамический коэффициент осевой нагрузки
Y_2	4,23	Динамический коэффициент осевой нагрузки
Y_0	2,78	Статический коэффициент осевой нагрузки

Дополнительная информация

H320	Закрепительная втулка
АНХ320	Стяжная втулка



Характеристики

-  Радиальная нагрузка
-  Осевая нагрузка в одном направлении
-  Осевая нагрузка в обоих направлениях
-  Смазывание пластичной смазкой
-  Смазывание маслом
-  Без уплотнений
-  Динамические угловые и линейные несоосности